

36 / 1980

Zbigniew Spólnicki

ALGORYTM SUMOWANIA TENSOROWEGO
WIELU STANÓW NAPREZEN

P. 269



WARSZAWA 1980

<http://rcin.org.pl>

Praca wpłynęła do Redakcji dnia 6 czerwca 1980 r.

Zarejestrowana pod nr 36/1980



57124



Na prawach rękopisu

Instytut Podstawowych Problemów Techniki PAN

Nakład 150 egz. Ark.wyd. 1,3. Ark.druk. 1,75

Oddano do drukarni we wrześniu 1980 r.

Nr zamówienia 626/e/80

Warszawska Drukarnia Naukowa, Warszawa,
ul.Śniadeckich 8

Zbigniew Spólnicki
Studia Doktoranckie
Politechniki Warszawskiej

ALGORYTM SUMOWANIA TENSOROWEGO WIELU STANÓW
NAPRĘŻEN $x/$

1. Wstęp

We współczesnych konstrukcjach stalowych coraz rzadziej występują elementy, w których nie analizuje się możliwości zmniejszenia ich ciężaru przy równoczesnym zachowaniu żądanych własności wytrzymałościowych. Uważa się kształt konstrukcji za optymalny, jeżeli w stanie granicznym cała jego objętość spełnia założony warunek uplastycznienia. Spełnienie powyższych założeń jest możliwe z pewnym przybliżeniem przy zastosowaniu metody statycznie dopuszczalnych nieciągłych pól naprężeń opartej na twierdzeniu o dolnej ocenie nośności granicznej [1]. Dobierając te pola w odpowiedni sposób, tzn. budując siatki statycznie dopuszczalnych pól naprężeń, można przy danym schemacie obciążenia racjonalnie dobrać zarówno kształty, jak i wymiary projektowanego elementu.

Nowe możliwości projektowania elementów konstrukcji stalowych przy użyciu statycznie dopuszczalnych nieciągłych pól naprężeń daje metoda zaproponowana w pracy [2], w której to przez nakładanie na siebie elementarnych układów linii nieciągłości, czy też elementarnych statycznie dopuszczalnych jednorodnych pól naprężeń [3] i po zsumowaniu odpowiednich tensorów naprężeń, można otrzymać nowe, bardzo różnorodne układy, przydatne w kształtowaniu elementów konstrukcji stalowych.

$x/$ Praca wykonana na zlecenie IPPT PAN w ramach problemu węzłowego 05.12.

Aby określić wypadkowy stan naprężenia, należy dokonać sumowania odpowiednich stanów naprężeń z elementarnych pól naprężeń, przy zachowaniu procedury przedstawionej w pracy [2]. Można to uzyskać na drodze przekształceń matematycznych lub też wykorzystując metodę wykreslną. Metody te stają się jednak bardzo pracochłonne i czasochłonne, gdy liczba obszarów uzyskanych przez nakładanie podstawowych układów linii nieciągłości jest duża lub, gdy liczba sumowanych tensorów naprężeń w danym obszarze przekracza liczbę 2. Aby uniknąć tych niedogodności zbudowano algorytm i napisano program na EMC-ODRA 1305. Jego przydatność sprawdzono na kilku przykładach.

2. Rozważania teoretyczne

Wstępnie przyjmujemy, że w zagadnieniu dodawania tensorowego wielu stanów naprężeń wszelkie obliczenia wykonywane będą w płaskim stanie naprężenia dla dwóch warunków plastyczności:

a/ warunku Hubera-Misesa

$$/2.1/ \sigma_1^2 - \sigma_1\sigma_2 + \sigma_2^2 = \sigma_{p1}^2, \text{ gdzie } \sigma_{p1} = k_H\sqrt{3};$$

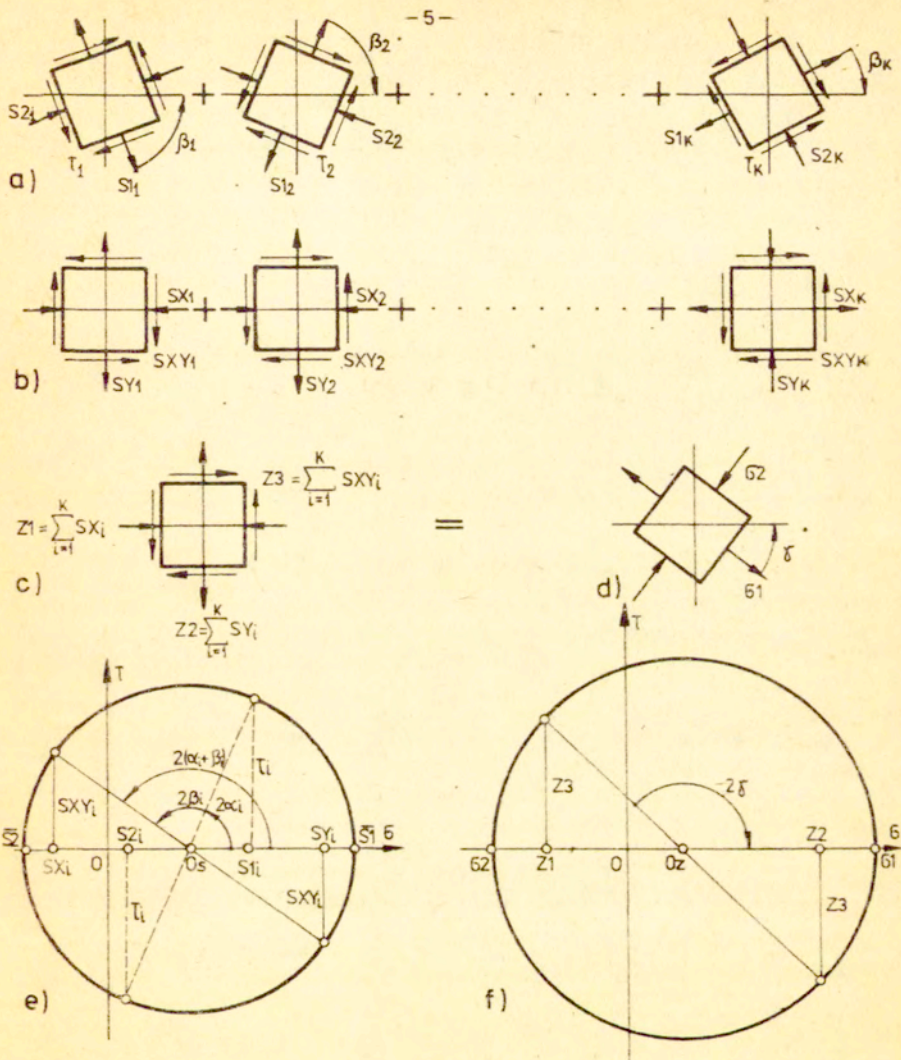
b/ warunku Treski

$$/2.2/ |\sigma_1 - \sigma_2| = \sigma_{p1}, \text{ gdzie } \sigma_{p1} = 2 \cdot k_T.$$

Gdy w jednym z obszarów zachodzi warunek $\sigma_i, \sigma_j > 0$, wyniki są słuszne tylko dla płaskiego stanu odkształcenia, natomiast dla płaskiego stanu naprężenia muszą być spełnione dodatkowe warunki $|\sigma_i| \leq \sigma_{p1}, |\sigma_j| \leq \sigma_{p1}$.

Chcąc dodawać tensory musimy z góry obrać układ współrzędnych. Do poniższych rozważań przyjmujemy inercjalny płaski układ odniesienia OXY we współrzędnych kartezjańskich. Nakładając w tym układzie współrzędnych na siebie elementarne układy linii nieciągłości, czy też elementarne statycznie dopuszczalne jednorodne pola naprężeń otrzymujemy nowe wynikowe pole. Natomiast, aby otrzymać wypadkowy stan naprężenia w każdym obszarze tego pola, musimy zsumować odpowiednie tensory naprężeń z pól podstawowych.

W pracy [2] nakładano na siebie tylko dwa elementarne układy linii nieciągłości lub elementarne statycznie dopuszczalne jednorodne pola naprężeń. W wyniku tego sumowano tylko dwa stany naprężeń reprezentowane przez naprężenia główne σ_1, σ_2



Rys.1 Sumowanie K-tensorów naprężeń: a) ogólne stany naprężeń, b) osiowe stany naprężeń, c) osiowy wypadkowy stan naprężenia, d) wypadkowy stan naprężenia przedstawiony przez naprężenia główne, e) odwzorowanie i-tego stanu naprężenia na płaszczyźnie kół Mohra $\tau=f(\sigma)$, f) odwzorowanie j-tego wypadkowego stanu naprężenia na płaszczyźnie kół Mohra $\tau=f(\sigma)$

oraz $S_1, S_2 / K=2/$.

W niniejszej pracy uogólniamy sumę nakładanych elementarnych układów linii nieciągłości do $K > 2$ /rys.1/. Ponadto uogólniamy elementarny stan naprężenia, reprezentując go przez naprężenia normalne S_{1i}, S_{2i} i styczne τ_i , gdzie $i = 1, 2, \dots, K$. Większe z naprężeń normalnych $\max\{S_{1i}, S_{2i}\}$ odchylone jest od dodatniego kierunku osi OX o kąt β_i . Przyjmujemy wartość kąta obrotu β_i za dodatnią, gdy obrót następuje przeciwnie do ruchu wskazówek zegara.

Naprężenia styczne na danej płaszczyźnie uważamy za dodatnie, gdy obracają element zgodnie z kierunkiem ruchu wskazówek zegara.

Chcąc określić wypadkowy stan naprężenia, musimy dokonać sumowania odpowiadających sobie składowych z wyjściowych stanów naprężenia. Jednak, ze względu na zróżnicowane kierunki tensorów naprężeń, sumowanie może nastąpić dopiero po znalezieniu naprężeń na stałych kierunkach podanych przez osie OX i OY przyjętego układu odniesienia.

Przejście z naprężeń ogólnych elementarnego i -tego tensora naprężeń $\{S_{1i}, S_{2i}, \tau_i, \beta_i\}$ na naprężenia osiowe $\{S_{Xi}, S_{Yi}, S_{XYi}\}$ określamy poprzez wzory wynikające bezpośrednio z odwzorowania zaistniałego stanu naprężenia rys.1e .

$$\begin{aligned} /2.3/ \quad S_{Xi} &= \frac{1}{2} \cdot (S_{1i} + S_{2i}) + \sqrt{(S_{1i} - S_{2i})^2 + 4 \cdot \tau_i^2} \cdot \cos 2/\alpha_i + \beta_i/ \\ S_{Yi} &= \frac{1}{2} \cdot (S_{1i} + S_{2i}) - \sqrt{(S_{1i} - S_{2i})^2 + 4 \cdot \tau_i^2} \cdot \cos 2/\alpha_i + \beta_i/ \\ S_{XYi} &= \frac{1}{2} \sqrt{(S_{1i} - S_{2i})^2 + 4 \cdot \tau_i^2} \cdot \sin 2/\alpha_i + \beta_i/ \end{aligned}$$

gdzie

$$/2.4/ \quad \alpha_i = \frac{1}{2} \arctg \frac{2 \cdot \tau_i}{S_{1i} - S_{2i}}$$

jest kątem, o jaki musimy obrócić element o naprężeniach ogólnych S_{1i}, S_{2i}, τ_i , żeby uzyskać element określony tylko przez naprężenia główne.

Z odwzorowania stanu naprężenia na płaszczyźnie kół Mohra wynika, że $-\frac{\pi}{4} \leq \alpha_i \leq \frac{\pi}{4}$.

Jeżeli $\tau = 0$, wtedy naprężenia osiowe wyrażają się przez niżej wymienione wzory

$$SX_i = \frac{1}{2} /S_{1i}+S_{2i}/ + \frac{1}{2} /S_{1i}-S_{2i}/ \cdot \cos 2\beta_i$$

$$/2.5/ \quad SY_i = \frac{1}{2} /S_{1i}+S_{2i}/ - \frac{1}{2} /S_{1i}-S_{2i}/ \cdot \cos 2\beta_i$$

$$SXY_i = \frac{1}{2} /S_{1i}-S_{2i}/ \cdot \sin 2\beta_i$$

Wzory te pokrywają się ze wzorami wyprowadzonymi w pracy [2]. Wypadkowy stan naprężenia $/Z_{1j}, Z_{2j}, Z_{3j}/$ określamy przez zsumowanie odpowiadających sobie naprężeń osiowych

$$Z_{1j} = \sum_{i=1}^K SX_i$$

$$/2.6/ \quad Z_{2j} = \sum_{i=1}^K SY_i$$

$$Z_{3j} = \sum_{i=1}^K SXY_i$$

Następnie wyznaczamy wartości naprężeń głównych σ_{1j} i σ_{2j} oraz określamy wartość kąta δ_j utworzonego przez większe z naprężeń głównych $\max\{\sigma_{1j}, \sigma_{2j}\}$ z dodatnim kierunkiem osi OX układu odniesienia.

$$\sigma_{1j} = \frac{1}{2} \left[/Z_{1j}+Z_{2j}/ + \sqrt{/Z_{1j}-Z_{2j}/^2 + 4 \cdot Z_{3j}^2} \right]$$

$$/2.7/ \quad \sigma_{2j} = \frac{1}{2} \left[/Z_{1j}+Z_{2j}/ - \sqrt{/Z_{1j}-Z_{2j}/^2 + 4 \cdot Z_{3j}^2} \right]$$

oraz

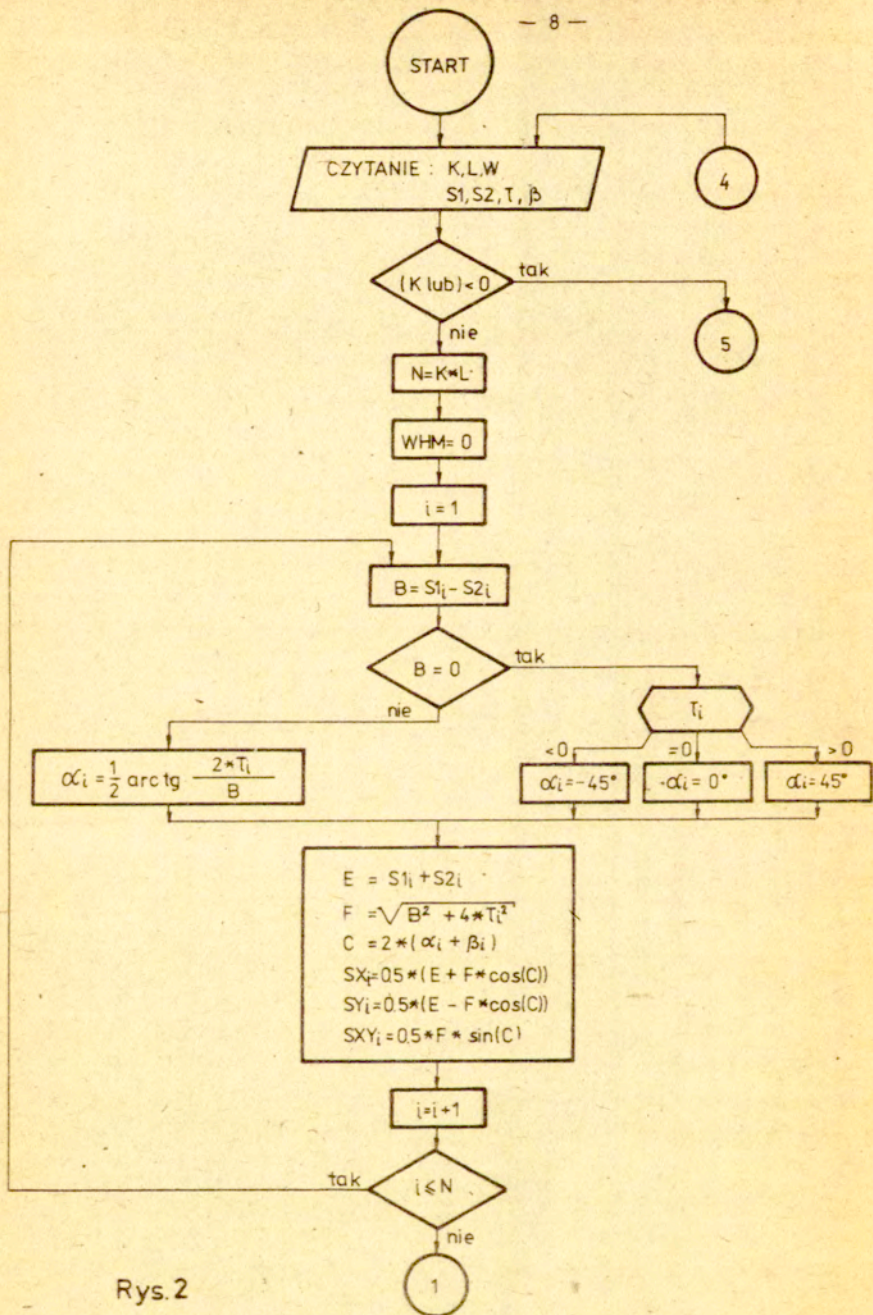
$$/2.8/ \quad \delta_j = \frac{1}{2} \cdot \arctg \frac{2 \cdot Z_{3j}}{Z_{1j} - Z_{2j}}$$

Obliczenia te wykonujemy dla L zadanych przypadków $/j=1, 2, \dots, L/$, tj. dla każdego z nowo powstałych obszarów.

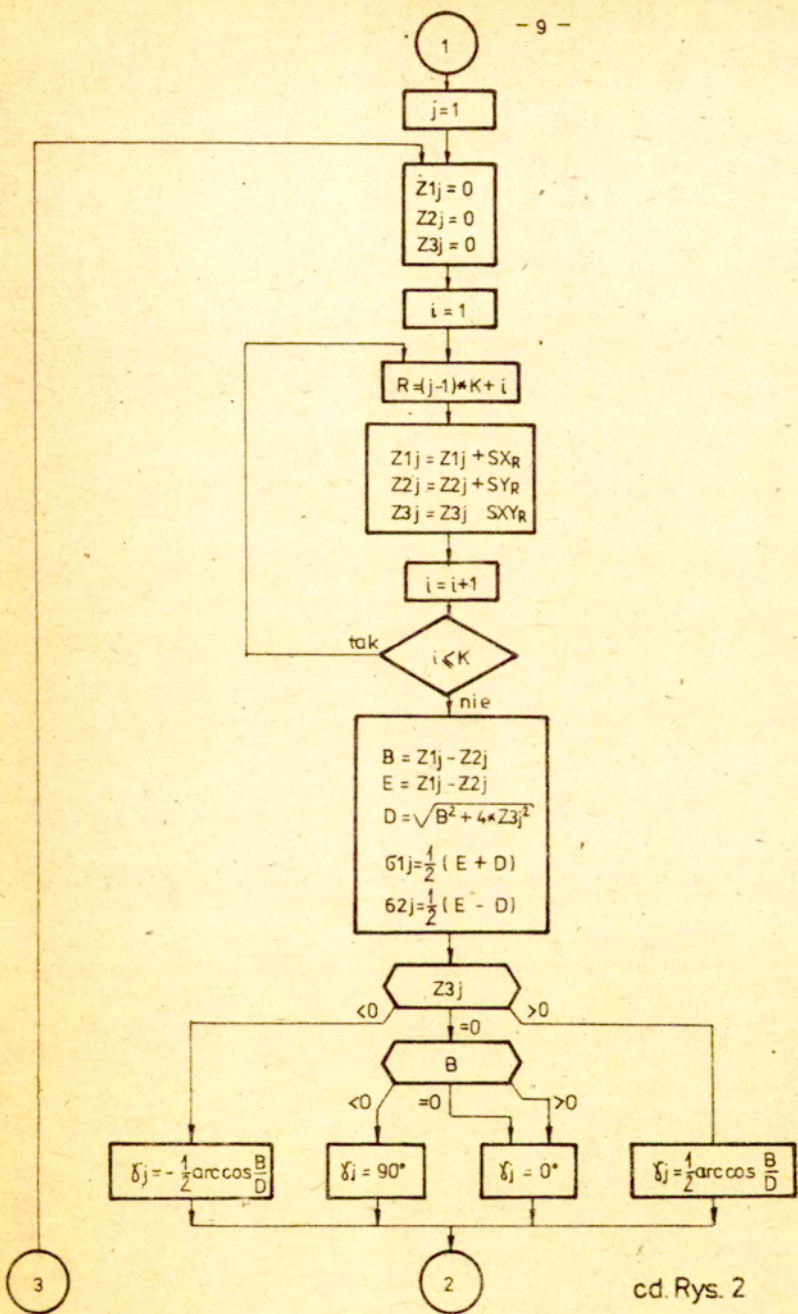
W ostatnim kroku sprawdzamy, czy nie został przekroczony zadany warunek plastyczności /2.1, 2.2/. W przypadku przekroczenia ustalamy współczynnik zmniejszający, prowadzący stan, który najbardziej przekroczył granicę plastyczności do stanu granicznego, a wszystkie pozostałe stany naprężenia obniżamy proporcjonalnie względem niego.

3. Algorytm rozwiązania problemu

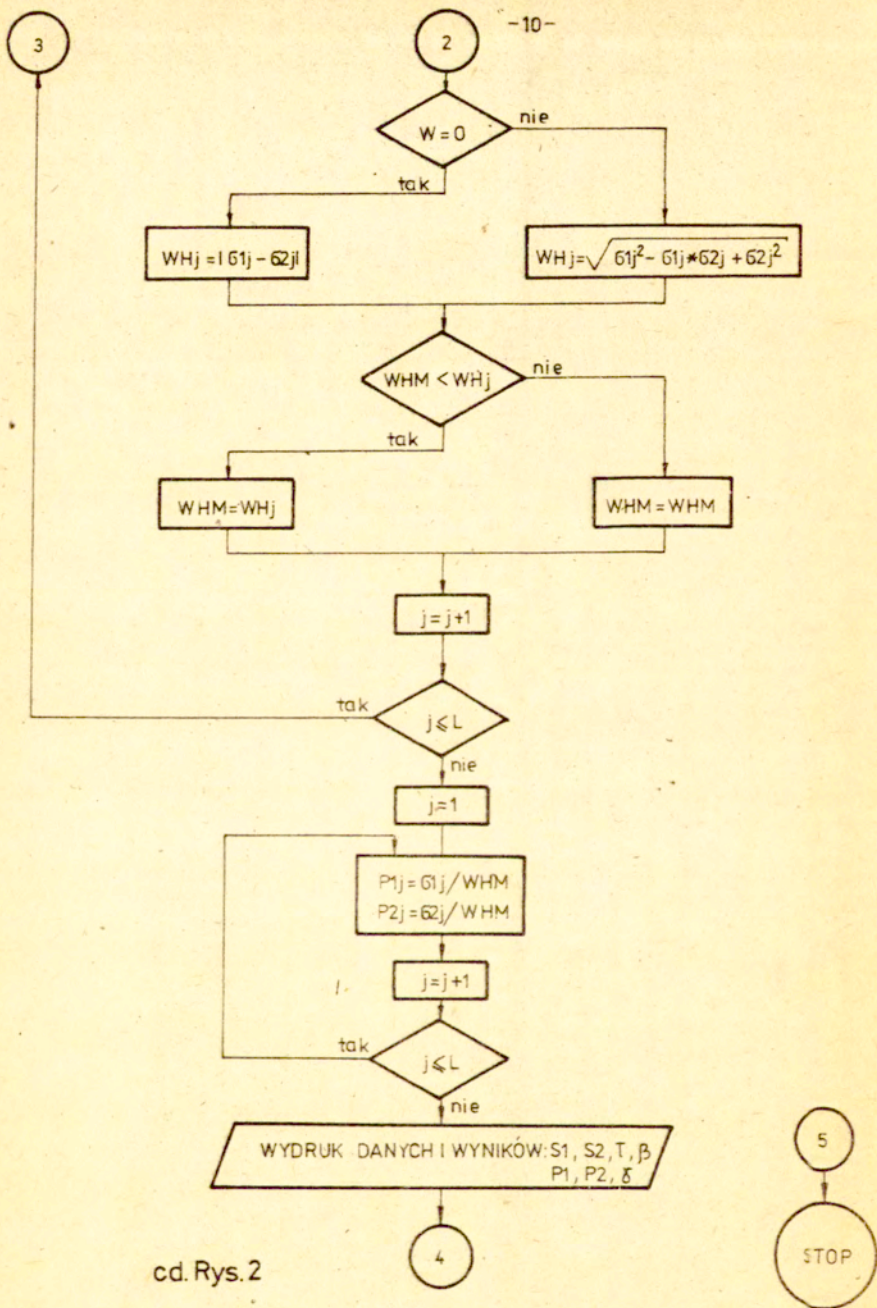
Wykorzystując definicję problemu, sformułowaną w pkt.2 ustalamy algorytm rozwiązania /rys.2/. Przy konkretnej realiza-



Rys.2



cd. Rys. 2



cd. Rys.2

cji algorytm pewnym zmiennym nadajemy konkretne wartości liczbowe lub logiczne. W ten sposób wprowadzamy dane wejściowe procesu obliczeniowego ustalonego przez ten algorytm. W naszym przypadku wczytujemy następujące niezbędne parametry początkowe:

K - liczbę sumowanych tensorów naprężeń ,

L - liczbę obszarów nowo powstałego pola naprężeń uzyskanych przez nakładanie tensorowe ,

W - zmienną sterującą, określającą zadany warunek plastyczności,

S_{1i}, S_{2i} - tablice wartości naprężeń normalnych ogólnego tensora naprężeń

\bar{t}_i - tablicę wartości naprężeń stycznych ogólnego tensora naprężeń

β_i - tablicę wartości kątów jakie utworzone są między większym z naprężeń $\max \{S_{1i}, S_{2i}\}$, a dodatnim kierunkiem osi OX przyjętego układu odniesienia.

Po wprowadzeniu danych początkowych, dalsza realizacja algorytmu przebiega dla tych konkretnych danych.

Następnie ustalamy kąt α_i , o jaki należy obrócić element o naprężeniach ogólnych S_{1i}, S_{2i} , \bar{t}_i , żeby uzyskać element określony tylko przez naprężenia główne /2.4/. Ponieważ maszyna cyfrowa nie wykonuje dzielenia przez zero, a co następuje gdy $S_{1i} - S_{2i} = 0$, dlatego też przez tym działaniem zabezpieczamy się instrukcją warunkową i z góry ustalamy dla tego przypadku konkretne wartości liczbowe kąta α_i . Wartości kąta α_i uwarunkowana jest wartością naprężenia stycznego \bar{t}_i . Jeżeli:

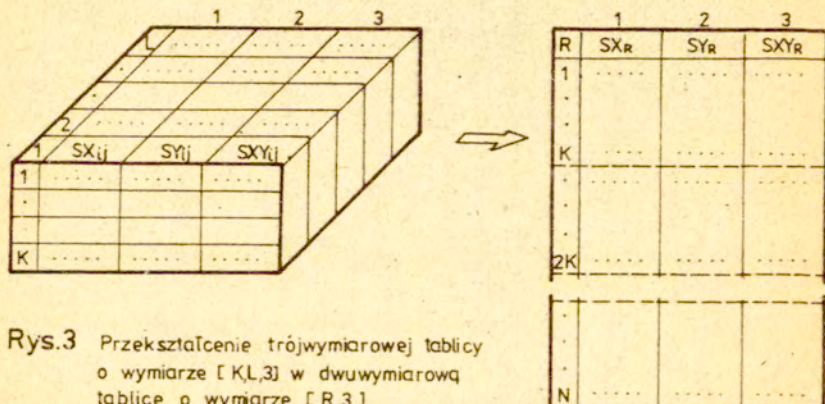
$$\begin{array}{lll} 1^\circ & \bar{t}_i < 0 & , \text{ to } \alpha_i = -45^\circ \\ /3.1/ & 2^\circ & \bar{t}_i = 0 & , \text{ to } \alpha_i = 0^\circ \\ & 3^\circ & \bar{t}_i > 0 & , \text{ to } \alpha_i = 45^\circ \end{array}$$

W przypadku, gdy różnica naprężeń głównych $S_{1i} - S_{2i} \neq 0$ wartość kąta α_i wynika bezpośrednio ze wzoru /2.4/. Operację ustalania kąta α_i wykonujemy dla każdego zadanego tensora naprężeń $i = 1, 2, \dots, N$, gdzie $N = K \cdot L$.

Po wyznaczeniu kąta α_i określamy składowe naprężenia osiowych S_{Xi}, S_{Yi}, S_{XYi} z ogólnego stanu naprężenia wg wzorów /2.3/. Operacje te wykonujemy tak, jak poprzednio dla każdego i-tego zadanego przypadku $i = 1, 2, \dots, N$. Otrzymane przez nas składowe

osiowe tensorów naprężeń tworzą trójwymiarową tablicę o wymiarze $[K, L, 3]$. W celu optymalizacji czasu na EMC tablicę tę przekształcamy w dwuwymiarową $[R, 3]$ /rys.4/. Wartość wymiaru R tej tablicy określona jest przez aktualne parametry i, j oraz wartości K .

$$/3.2/ \quad R = /j-1/ \cdot K + 1$$



Dla ustalonego aktualnego parametru j sumujemy odpowiednio składowe $S_{X_R}, S_{Y_R}, S_{XY_R}$ wg wzorów /2.6/. Do każdego z tych działań bierzemy pod uwagę odpowiednio po K wyrazów. Operację tę wykonujemy niezależnie dla L przypadków /obszarów nowo utworzonego pola naprężeń/. W wyniku tego otrzymujemy dwuwymiarową tablicę o wymiarze $[L, 3]$ wynikowych stanów naprężeń, określonych przez wypadkowe osiowe naprężenia normalne Z_{1j}, Z_{2j} oraz osiowe naprężenia styczne Z_{3j} /2.6/. Następnie, z wartości tych wyznaczamy naprężenia główne σ_{1j}, σ_{2j} wg wzorów /2.7/ i ustalamy kąt δ_j , zawarty między $\max\{\sigma_{1j}, \sigma_{2j}\}$, a dodatnim kierunkiem osi Ox , /2.8/. Wzór /2.8/ potrzebny do wyznaczania kąta δ_j jest poprawny tylko w metodzie analityczno-wykresłnej, natomiast przy zagadnieniach numerycznych staje się mało opłacalny ze względu na czas wykonywania operacji, jak i ze względu

du na dużą liczbę instrukcji warunkowych, których musielibyśmy użyć. Celowym więc stało się zastąpienie wzoru /2.8/ do obliczania kąta δ_j przy użyciu funkcji arc tg /x/ wzorami, w których główną rolę pełni funkcja arc cos /x/ /3.3, 3.4/. Wartość kąta δ_j uwarunkowana jest w tym przypadku tylko składową styczną wypadkowego tensora naprężeń Z_{3j} . Jeżeli:

/3.3/ 1° $Z_{3j} < 0$, wtedy

$$\delta_j = -\frac{1}{2} \cdot \text{arc cos} \frac{Z_{1j} - Z_{2j}}{\sqrt{Z_{1j} - Z_{2j}}^2 + 4 \cdot Z_{3j}^2}$$

/3.4/ 2° $Z_{3j} > 0$, wtedy

$$\delta_j = \frac{1}{2} \cdot \text{arc cos} \frac{Z_{1j} - Z_{2j}}{\sqrt{Z_{1j} - Z_{2j}}^2 + 4 \cdot Z_{3j}^2}$$

/3.5/ 3° $Z_{3j} = 0$ i $Z_{1j} - Z_{2j} < 0$, wtedy

$$\delta_j = 90^\circ$$

/3.6/ 4° $Z_{3j} = 0$ i $Z_{1j} - Z_{2j} \geq 0$, wtedy

$$\delta_j = 0^\circ$$

Po określeniu wypadkowych naprężeń głównych σ_{1j} , σ_{2j} , w następnym kroku sprawdzamy, czy nie został przekroczony zadany warunek plastyczności /2.1 lub 2.2/ w każdym obszarze nowo powstałego pola j / $j = 1, 2, \dots, I$ /. W przypadku przekroczenia stan najbardziej przekraczający granicę plastyczności przyrównujemy do stanu granicznego, a wszystkie pozostałe naprężenia proporcjonalnie zmniejszamy. Zadany warunek plastyczności wybieramy, określając zmienną sterującą W . Jeżeli $W = 0$, wtedy przyjmujemy warunek plastyczności Treski /2.2/, natomiast gdy $W \neq 0$ / $W=1$ /, wtedy działania wykonujemy dla warunku Hubera-Misesa /2.1/.

Wartości zmniejszonych naprężeń głównych P_{1j}, P_{2j} drukujemy obok wartości kąta δ_j jako wartości wynikowe. Dla sprawdzenia, czy nie popełniliśmy błędów przy wprowadzaniu danych $S_{1i}, S_{2i}, L_i, \beta_i$, drukujemy ich wartości.

Chcąc maksymalnie wykorzystać proces obliczeń /inne przykłady tego typu w tym samym cyklu/, powracamy z programem do punktu wejścia. Jeżeli wstawimy nowe dane dla innego przykładu proces obliczania będzie przebiegać analogicznie jak poprzednio. Koniec procesu przetwarzania nastąpi wówczas, gdy stwierdzimy ujemną wartość K lub L /dane wejściowe/.

Dla zobrazowania algorytmu rozwiązania na sumowanie nieciągłych pól naprężeń ułożony został schemat blokowy /rys.2/. Jest on graficzną reprezentacją czynności wykonywanych w poszczególnych krokach z przejrzystym przedstawieniem ich wzajemnego powiązania.

Ostatnim etapem w zespole czynności związanych z przygotowaniem programu jest zapisanie algorytmu rozwiązania problemu w języku dostępnym dla konkretnej maszyny cyfrowej. W naszym przypadku wykorzystaliśmy EMC-ODRA 1305, a do zakodowania algorytmu użyliśmy język FORTRAN-IV. Efektem tych czynności jest tabulogram programu przedstawiony na końcu pracy.

W punkcie następnym pracy przedstawiony jest sposób korzystania z tego programu dla konkretnych obliczeń numerycznych.

4. Program na EMC

Programem o nazwie ZEY1 wyznaczamy naprężenia główne i kąt utworzony między kierunkiem większego z naprężeń głównych, a dodatnim zwrotem osi Ox układu odniesienia po zsumowaniu K odpowiednich tensorów naprężeń w L obszarach nowo powstałego pola. Ponadto zmniejszamy wszystkie naprężenia, gdy w jednym z obszarów przekroczona zostanie granica plastyczności. Obliczenia możemy wykonywać dla zadanego warunku plastyczności /warunek Treski lub warunek Hubera-Misesa/ w płaskim stanie naprężenia i odkształcenia, gdy naprężenia główne σ_i, σ_j we wszystkich obszarach pola spełniają warunek $\sigma_i \cdot \sigma_j \leq 0$ lub

$\sigma_i \cdot \sigma_j > 0$, $|\sigma_i| \leq \sigma_{pl}$, $|\sigma_j| \leq \sigma_{pl}$. Natomiast gdy w jednym z obszarów $\sigma_i \cdot \sigma_j > 0$ i $|\sigma_i| > \sigma_{pl}$, $|\sigma_j| > \sigma_{pl}$, wyniki są słuszne tylko dla płaskiego stanu odkształcenia.

Program ZBY1 napisany jest w języku FORTRAN IV z przeznaczeniem na maszynę cyfrową serii ODRA 1300. Granicą efektywności wykorzystania programu jest liczba sumowanych tensorów $K \leq 10$ w $L \leq 40$ obszarach jednorodnych pól naprężeń dla dowolnej liczby elementów konstrukcji stalowych wczytywanych jednorazowo. W skład programu wchodzi tylko segment MASTER. Z urządzeń peryferyjnych wykorzystujemy drukarkę wierszową na 120 znaków, dziurkarkę i czytnik kart.

4.1. Instrukcja przygotowania danych /rys.4/

1 rekord - wczytywane kolejno dane: K - liczba sumowanych tensorów naprężeń w jednym z obszarów jednorodnego pola naprężeń, L - liczba obszarów w jednorodnym polu naprężeń uzyskanym przez nakładanie tensorowe, W - zmienna sterująca ustalająca zadany warunek plastyczności /W = 0 w przypadku obliczeń dla warunku Treski, W = 1 dla warunku Hubera-Misesa/ **FORMAT** [I2,2X,I2,2X,I1]

2 rekord - kolejno wczytywane: większe z naprężeń normalnych i następ- mniejsze z naprężeń normalnych, naprężenia styczne, ne kąty utworzone między większym z naprężeń normalnych a dodatnim zwrotem osi OX układu odniesienia **FORMAT** [8/F8.4,1X//]

Uwagi:

- 1^o Przy przyjętych wartościach K i L liczba danych wczytywanych w drugim rekordzie /i w następnych/ powinna równać się $4 \cdot K \cdot L$.
- 2^o Jeżeli w jednym z obszarów jednorodnego pola naprężeń liczba sumowanych tensorów jest mniejsza od przyjętej maksymalnej liczby K_{max} , to dane należy rozszerzyć przyjmując tyle zerowych stanów naprężeń, ażeby liczba dodawanych tensorów wynosiła $K = K_{max}$.
- 3^o Chcąc zakończyć bieg EMC należy na końcu pakietu danych umieścić rekord z ujemnymi wartościami K i L wg formatu

4.2. Analiza wyników z EMC

Po wykonaniu obliczeń na EMC drukowana jest tabela, w której oprócz wyników dodawania tensorowego /P1,P2 - wypadkowe naprężenia główne, GAMMA - kąt utworzony między P1 a dodatnim kierunkiem osi OX/ zawarte są dane wejściowe /S1,S2,TAL, BETA/. Ponadto drukowany jest zadany warunek plastyczności dla którego wykonywane były obliczenia.

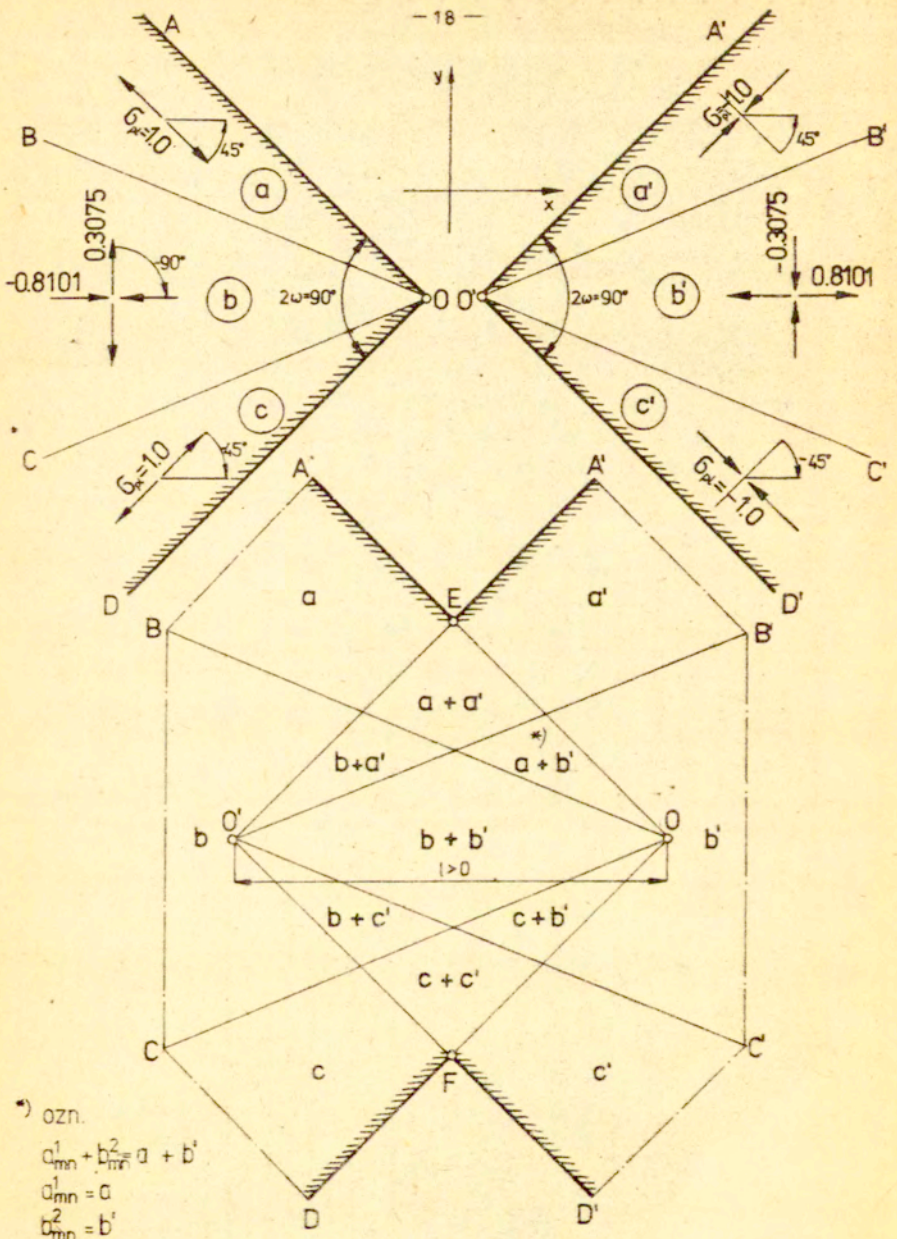
Uwagi:

- 1° Jeżeli wartości naprężeń głównych P1 lub P2 oznaczone są znakiem minus, to mamy do czynienia z naprężeniami ściskającymi, w innych przypadkach z rozciągającymi.
- 2° Kąt GAMMA utworzony między kierunkiem większego z naprężeń głównych /P1/ a dodatnim zwrotem osi OX układu odniesienia obracamy w kierunku przeciwnym do ruchu wskazówek zegara, jeżeli znak wartości kąta jest dodatni, w innym przypadku przeciwnie.
- 3° Naprężenia główne P1,P2 drukowane są jako bezwymiarowe wartości naprężeń obliczone dla granicy plastyczności materiału przyjętej ze jednostką $\sigma_{pl} = 1,0$. Chcąc uzyskać rzeczywiste wartości naprężeń panujących we wszystkich obszarach pola należy bezwymiarowe wyniki pomnożyć przez daną wartość naprężeń plastycznych materiału σ_{pl} [kg/mm²].

W celu zobrazowania powyższych czynności poniżej przedstawiony jest przykład na sumowanie tensorowe nieciągłych pól naprężeń.

4.3. Przykład

Rozważmy nakładanie tensorowe dwóch elementarnych układów linii nieciągłości typu I dla $2\omega = 90^\circ$ i warunku plastyczności Hubera-Misesa [3] w płaskim kartezjańskim układzie odniesienia XY /rys.6/. Zakładamy, że geometryczne kontury obu podstawowych układów są symetryczne względem osi OY poprowadzonej przez punkt F i posiadają antysymetryczny obraz stanów naprężeń.



*) ozn.
 $a_{mn}^1 + b_{mn}^2 = a + b'$
 $a_{mn}^1 = a$
 $a_{mn}^2 = b'$

rys.5

Tabela 1

 $2w=90^\circ$ warunek Hubera-Misesa

ukł. linii nie- ciągł.	Ozn. stanu naprę- żenia	Wartości naprężeń		β_i
		S1i	S2i	
1	a	1,0000	0,0000	+450000 ^o
	b	0,3075	-0,8101	+900000 ^o
	c	1,0000	0,0000	-450000 ^o
2	a'	0,0000	-1,0000	+450000 ^o
	b'	0,8101	-0,3075	0,0000 ^o
	c'	0,0000	-1,0000	-450000 ^o

W wyniku równoległego nasunięcia na siebie tych dwóch układów na odległość $l > 0$ otrzymamy nowy obszar objęty konturem ABCDEDE'C'B'A'F /rys.6 b/. W 13-tu $L=13$ nowo powstałych obszarach można wyróżnić 7, w których sumowane są po dwa tensory naprężeń $/K_{max} = K = 2/ / a + a', b + b', c + c', b + a', b + c', a + b', c + b' /$. W sześciu pozostałych obszarach stany naprężeń pozostają niezmienione $/a, b, c, a', b', c' /$.

Określenie wypadkowych stanów naprężeń w poszczególnych obszarach możemy uzyskać na drodze przekształceń matematycznych lub metodą wykreslną /por. [2] /. Jednakże, ze względu na dużą liczbę nowo utworzonych obszarów powyższe metody stają się uciążliwe w obliczeniach i zabierają zbyt dużo cennego czasu. Ponadto metoda wykreslna nie daje zadowalająco dokładnych wyników.

Dla uniknięcia tych niedogodności przykład ten rozwiązaliśmy przy pomocy EMC /program ZBY1/. Jedynym "wysiłkiem" w tej metodzie jest przygotowanie danych i późniejsza analiza otrzymanych wyników.

Z powyższych rozważań i założeń dla tego przykładu wynika, że:

- maksymalna liczba dodawanych tensorów naprężeń wynosi $K = 2$
- liczbanowo powstałych obszarów równa jest $L = 13$
- przykład rozwiązujemy dla warunku Hubera-Misesa, wobec tego

zmienna sterującą przyjmuje wartość $W = 1$.

Dane te /K,L,W/ wczytujemy w pierwszym rekordzie wg formatu /I2,2X,I2,2X,I1/. Natomiast w następnych wartości stanów naprężeń /po 8 danych w każdym rekordzie/. Ze względu na to, że w 6-ciu z 13 przypadków /a,b,c,a',b',c'/ liczba sumowanych tensorów jest mniejsza od przyjętej maksymalnej wartości $K_{max}=2$, ilość danych dla tych przypadków rozszerzamy przyjmując tyle zerowych stanów naprężeń "0", ażeby liczba dodawanych tensorów była równa K_{max} .

Tabela 2

K \ L	1	2	3	4	5	6	7	8	9	10	11	12	13
k=1	a	b	c	a'	b'	c'	-	-	-	-	-	-	-
k=2	-	-	-	-	-	-	a+a	b+b	c+c	a+b	b+a	b+c	c+b

$K_{max}=2$	a+0	b+0	c+0	a+0	b+0	c+0	a+a	b+b	c+c	a+b	b+a	b+c	c+b
-------------	-----	-----	-----	-----	-----	-----	-----	-----	-----	-----	-----	-----	-----

Kolejno wczytujemy wartości większych z naprężeń normalnych S_{1i} , mniejszych z naprężeń normalnych S_{2i} , naprężenia styczne T_i i kąty β_i jakie utworzone są między S_{1i} , a dodatnim kierunkiem osi OX /FORMAT [8 [F8.4,1x]]/. Wartości danych oraz kolejność ich wczytywania przedstawione są w tabeli 3.

Ponieważ rozwiązywany jest tylko ten jeden przykład, pakiet danych kończymy rekordem z ujemną dowolną wartością K lub L zapisaną wg formatu z 1 rekordu.

W wyniku obliczeń na EMC otrzymujemy tabelę, w której oprócz wyników dodawanie tensorowego /P1j,P2j,GAMMA/ zawarte są dane wejściowe /Tabela 4/.

W celu zobrazowania otrzymanych wyników wartości stanów naprężeń naniesione zostały na płaszczyznę kół Mohra $\bar{T} = f/6/$, /rys.5/. Natomiast na rys. 7 przedstawiony jest obszar uzyskany przez nakładanie układów linii nieciągłości typu I z naniesionymi wypadkowymi stanami naprężeń. Jak widać z rys.6w obszarze a+a' panuje graniczny warunek plastyczności Hubera-Misesa.

Tabela 3

i	Ozn. stanu naprężenia	Wartości naprężeń			β_i
		S1i	S2i	τ_i	
1	a + "0"	1.0000 0.0000	0.0000 0.0000	0.0000 0.0000	45.0000 0.0000
2	b + "0"	0.3075 0.0000	-0.8101 0.0000	0.0000 0.0000	90.0000 0.0000
3	c + "0"	1.0000 0.0000	0.0000 0.0000	0.0000 0.0000	-45.0000 0.0000
4	a' + "0"	0.0000 0.0000	-1.0000 0.0000	0.0000 0.0000	45.0000 0.0000
5	b' + "0"	-0.8101 0.0000	-0.3075 0.0000	0.0000 0.0000	0.0000 0.0000
6	c' + "0"	0.0000 0.0000	-1.0000 0.0000	0.0000 0.0000	-45.0000 0.0000
7	a + a'	1.0000 0.0000	0.0000 -1.0000	0.0000 0.0000	45.0000 45.0000
8	b + b'	0.3075 0.8101	-0.8101 -0.3075	0.0000 0.0000	90.0000 0.0000
9	c + c'	1.0000 0.0000	0.0000 -1.0000	0.0000 0.0000	-45.0000 -45.0000
10	a + b'	1.0000 0.8101	0.0000 -0.3075	0.0000 0.0000	45.0000 0.0000
11	b + a'	0.3075 0.0000	-0.8101 -1.0000	0.0000 0.0000	90.0000 45.0000
12	b + c'	0.3075 0.0000	-0.8101 -1.0000	0.0000 0.0000	90.0000 -45.0000
13	c + b'	1.0000 0.8101	0.0000 -3.075	0.0000 0.0000	-45.0000 0.0000

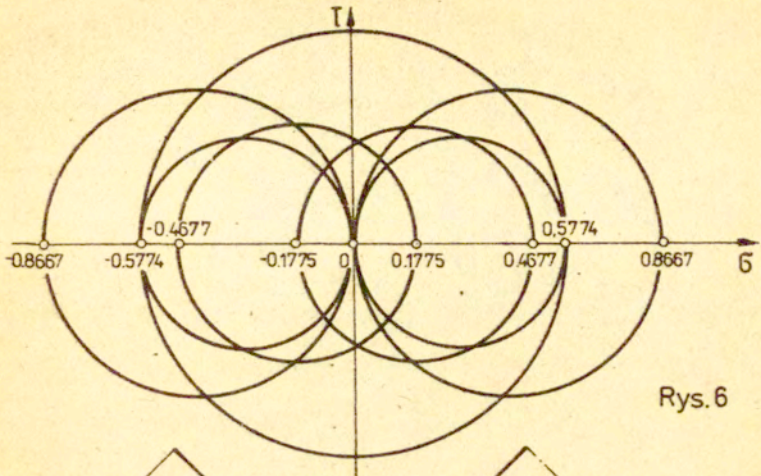
Natomiast w pozostałych obszarach stany naprężeń są mniejsze od granicznego. Szczególnym przypadkiem jest obszar b+b', w którym wypadkowy stan naprężenia równy jest "0".

SUMOWANIE TENSOROWE NIECIĄGŁYCH PÓŁ NAPREZEK

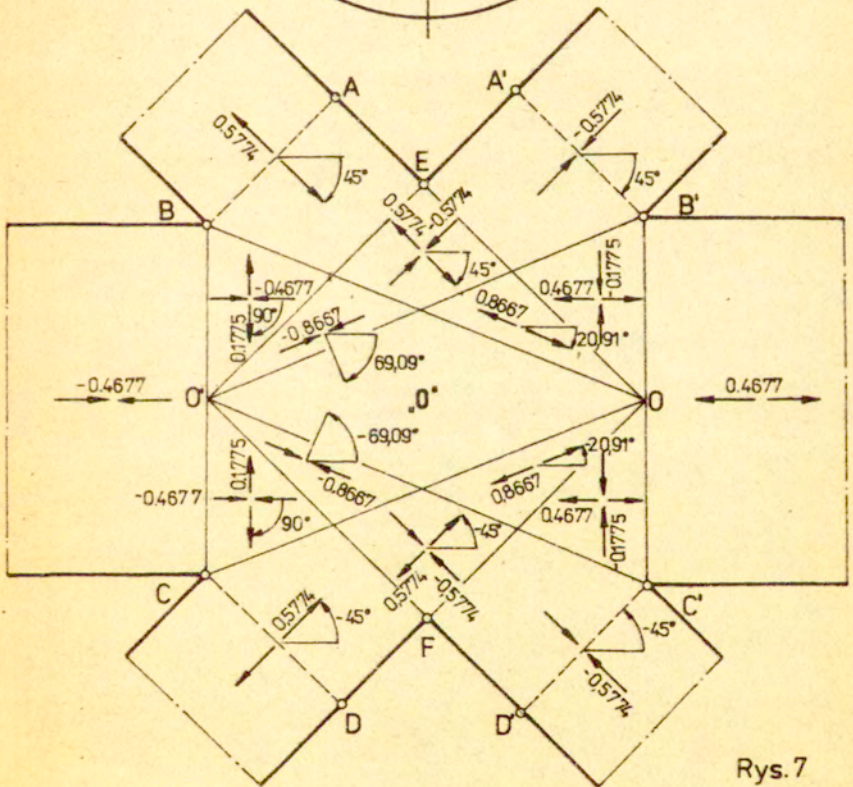
WARUNEK HUBERA

DANE WEJŚCIOWE						WYNIK DODAWANIA TENSOROWEGO		
Lp.	I	S1	S2	TAL	BETA	P1	P2	GAMMA
1	1	1.0000	0.0000	0.0000	45.0000	0.5774	0.0000	45.0000
	2	0.0000	0.0000	0.0000	0.0000			
2	1	0.3075	-0.8101	0.0000	90.0000	0.1775	-0.4677	90.0000
	2	0.0000	0.0000	0.0000	0.0000			
3	1	1.0000	0.0000	0.0000	-45.0000	0.5774	0.0000	-45.0000
	2	0.0000	0.0000	0.0000	0.0000			
4	1	0.0000	-1.0000	0.0000	45.0000	0.0000	-0.5774	45.0000
	2	0.0000	0.0000	0.0000	0.0000			
5	1	0.8101	-0.3075	0.0000	0.0000	0.4677	-0.1775	0.0000
	2	0.0000	0.0000	0.0000	0.0000			
6	1	0.0000	-1.0000	0.0000	-45.0000	0.0000	-0.5774	45.0000
	2	0.0000	0.0000	0.0000	0.0000			
7	1	1.0000	0.0000	0.0000	45.0000	0.5774	-0.5774	45.0000
	2	0.0000	-1.0000	0.0000	45.0000			
8	1	0.3075	-0.8101	0.0000	90.0000	0.0000	0.0000	0.0000
	2	0.8101	-0.3075	0.0000	0.0000			
9	1	1.0000	0.0000	0.0000	-45.0000	0.5774	-0.5774	-45.0000
	2	0.0000	-1.0000	0.0000	-45.0000			
10	1	1.0000	0.0000	0.0000	45.0000	0.8667	0.0000	20.9107
	2	0.8101	-0.3075	0.0000	0.0000			
11	1	0.3075	-0.8101	0.0000	90.0000	0.0000	-0.8667	69.0893
	2	0.0000	-1.0000	0.0000	45.0000			
12	1	0.3075	-0.8101	0.0000	90.0000	0.0000	-0.8667	-69.0893
	2	0.0000	-1.0000	0.0000	-45.0000			
13	1	1.0000	0.0000	0.0000	-45.0000	0.8667	0.0000	-20.9107
	2	0.8101	-0.3075	0.0000	0.0000			

TABELA 4.



Rys. 6



Rys. 7

TABULOGRAM PROGRAMU ZBY1

	678	72	76	20	24	28	32	36	40	44	48	52	56	60	64	68	73
	MASTER ZBY1																
C	PROGRAM SUMUJE TENSOROWO WIECIĄGLĄE POLA NAPREZEN																
	REAL B,S1,WH,WHM,ZXYZ,SIGMA,P1,B,C,D,E,F																
	INTEGER K,L,I,J,N,P,M,L1,R,A,Z,W																
	DIMENSION S(400,4),S1(400,4),WH(40),ZXYZ(40,3),SIGMA(40,2),P1(40,3)																
	X),P(400),M(400),L1(40)																
1	READ(2,5) K,L,W																
5	FORMAT(I2,2X,I2,2X,I1)																
*	IF(K.LT.C) GO TO 500																
	IF(L.LT.C) GO TO 500																
C	SPRAWDZENIE DODATNOSCI K I L																
	IF K=L																
	READ(2,10)((S I,J),I=1,N,J=1,4)																
10	FORMAT(S(PS.4,1X))																
C	DANE WCZYTAŁE																
C	OBLICZANIE ŚNADOWYCH NAPREZEN NA OSIE UKŁADU WSPÓŁRZĘDNYCH																
	WHM=0																
	DO 100 I=1,N																
	B=S(I,1)-S(I,2)																
	IF(B.EQ.C) GO TO 105																
	C=2*S(I,3)/B																
	S1(I,4)=0.5 ATAN(C)																
	GO TO 106																
105	IF(S(I,3) 101,102,103																
101	S1(I,4)=-45.0000																
	GO TO 106																
102	S1(I,4)=0.0000																
	GO TO 106																
103	S1(I,4)=45.0000																
106	C=(S1(I,4)+S(I,4))*2																
	D=0.01745329*C																
	C=COJ(D)																
	B=SIN(D)																

1	578	12	16	20	24	28	32	36	40	44	48	52	56	60	64	68	73
136	IF(W.EQ.0) GO TO137																
	C=SIGMA(J,1)*SIGMA(J,1)-SIGMA(J,1)*SIGMA(J,2)+SIGMA(J,2)*SIGMA(J,2)																
	J)																
	WH(J)=SQRT(C)																
	GO TO 136																
137	WH(J)=ABS(SIGMA(J,1)-SIGMA(J,2))																
136	IF(WH.LM.WH(J)) WHM=WH(J)																
110	CONTINUE																
	DO 140 J=1,L																
	P1(J,1)=SIGMA(J,1)/WHM																
	P1(J,2)=SIGMA(J,2)/WHM																
C	KONIEC OBLICZEN DLA KOLEJNEGO KROKU																
140	CONTINUE																
C	WYDRUK WYNIKOW																
	WRITE(1,200)																
200	FORMAT(///42X,44HOBOWANIE TENSOROWE NIECIAGLECH POL NAPREZEN/42X,																
	M44(1H=1))																
	IF(W.EQ.0) GO TO 201																
	WRITE(1,202)																
202	FORMAT(55X,14HWARUNEK HUBERA//)																
	GO TO 204																
201	WRITE(1,203)																
203	FORMAT(55X,14HWARUNEK PRESKI//)																
204	WRITE(1,205)																
205	FORMAT(11K,107(1H*))																
	WRITE(1,206)																
206	FORMAT(11K,107H* DANE WETSCIDWE																
Z	* WYNIK DODAWANIA TENSOROWEGO *)																
	WRITE(1,207)																
207	FORMAT(11K,107(1H-))																
	WRITE(1,208)																
208	FORMAT(11K,107H* LP * I * J * S1 * S2 * TAL																
K	* BETA * P1 * P2 * GAMMA *)																
	DO 230 I=1,L																
	L(I)=I																

1	578	12	16	20	24	28	32	36	40	44	48	52	56	60	64	68	73
	DO	230	J=1,K														
	A=J+(I-1)*K																
	M(A)=I																
	F(A)=J																
	IF(P(A).EQ.K)	GO	TO	235													
	WRITE(1,236)	(P(A),M(A),	(S(A,R),R=1,4))														
236	FORMAT(11X,1H*,4X,1H*,2(1X,I2,1X,1H*),4(2X,F3.4,2X,1H*),3(12X,1H*)																
	M/11X,1H*,4X,1H*,6(1H-),1H*,3(12X,1H*))																
	GO	TO	230														
235	WRITE(1,238)	(L1(I),P(A),M(A),	(S(A,R),R=1,4),	(P1(I,Z),Z=1,3))													
238	FORMAT(11X,1H*,3(1X,I2,1X,1H*),7(2X,F3.4,2X,1H*)/11X,107(1H*))																
230	CONTINUE																
C	KONIEC TEGO WARIANTU OBLICZEN																
	GO	TO	1														
500	WRITE(1,400)																
400	FORMAT(1H1,3BHROZPOZNANO K,L UJEMNE,KONIEC PRZEBIEGU//1H0,22HDZIEK																
	ALJE ZA WSPOLPRACE)																
	STOP																
	END																

L i t e r a t u r a

1. W.SZCZEPINSKI, Statyczne dopuszczalne pola naprężeń dla węzłów konstrukcji stalowych, Prace IPPT nr 44/1977
2. J.SZLAGOWSKI, Kształtowanie węzłów konstrukcji stalowych metodą tensorowego nakładania dwóch stanów naprężeń, ROZPRAWY INŻYNIERSKIE nr 2/3/1981 /w druku/
3. W.SZCZEPINSKI, J.SZLAGOWSKI, Graniczne statycznie dopuszczalne nieciągłe pola naprężeń dla szacowania nośności granicznej, Prace IPPT nr 3,9,11,20,21/1976
4. Późtorak, J.Szlagowski, Nośność graniczna pewnego typu węzłów konstrukcji stalowych, Prace IPPT 3/1977

Spis treści

	str.
1. W s t ę p	3
2. Rozważania teoretyczne	4
3. Algorytm rozwiązania problemu	7
4. Program na EMC	14
5. Tabulogram programu ZEY1	24